

**МАТЕМАТИЧЕСКОЕ МОДЕЛИРОВАНИЕ
И ИССЛЕДОВАНИЕ
ЯВЛЕНИЙ РЕЗОНАНСА В МЕХАНИЧЕСКИХ
СИСТЕМАХ ПЕРЕМЕННОЙ ДЛИНЫ**

Литвинов Владислав Львович

Самарский государственный технический университет

Московский государственный университет
им. М.В. Ломоносова

Линейные модели

В настоящее время вопросы надежности при проектировании технических объектов с движущимися границами требуют все более полного учета динамических явлений. Широкое распространение в технике объектов с движущимися границами обуславливает необходимость развития методов их расчета.

Колебания в передачах с гибкой связью при разгоне (предотвращение колебаний лент в лентопротяжных механизмах, ленточных пилах и т.д.)

$$U_{tt}(x,t) - a^2 U_{xx}(x,t) = 0.$$

Продольные колебания вязкоупругих канатов переменной длины (надежность работы грузоподъемных установок, безопасность движения лифтов и т.д.)

$$Z_{tt}(x,t) - a^2 [Z_{xx}(x,t) + \mu Z_{xxt}(x,t)] = f(x,t).$$

Поперечные колебания канатов переменной длины с учетом вязкоупругости, изгибной жесткости, сил сопротивления среды и жесткости основания (надежность работы железнодорожной контактной сети, безопасность движения подвесных канатных дорог и т.д.)

$$U_{tt}(x,t) - a^2 U_{xx}(x,t) + \frac{\lambda}{\rho} U_t(x,t) + \frac{EI}{\rho} U_{xxxx}(x,t) + \frac{\mu I}{\rho} U_{xxxxt}(x,t) + \frac{k_0}{\rho} U(x,t) = f(x,t).$$

Изгибные колебаний валов, балок и стержней с подвижными закреплениями с учетом вязкоупругости, сил сопротивления среды и жесткости основания (надежность работы деталей машин, безопасность движения поездов и т.д.)

$$\frac{EI}{\rho} U_{xxxx}(x,t) + \frac{\mu I}{\rho} U_{xxxxt}(x,t) + U_{tt}(x,t) + \frac{\lambda}{\rho} U_t(x,t) + \frac{k_0}{\rho} U(x,t) = f(x,t).$$

Крутильные колебания валов и стержней переменной длины (надежность работы поршневых двигателей, турбин, генераторов, редукторов, буровых колонн и т.д.)

$$\Phi_{tt}(x,t) - a^2 \Phi_{xx}(x,t) = 0.$$

Основные методы решений краевых задач

Аналитические методы

Классы решений	Авторы	Тип уравнений	Недостаток решений
Автомодельные решения	Самарин Ю.П.; Ястребов В.П.	Волновое уравнение, уравнение изгибных колебаний, телеграфное уравнение	Справедливы для областей, расширяющихся в автомодельном режиме из точки. Отсутствие модовой структуры в решении затрудняет его анализ.
Решения на характеристиках	Самарин Ю.П.	Волновое уравнение	Приемлемы при однократном отражении волн в полубесконечных объектах
Разложение решений по системе мгновенных собственных функций	Гринберг Г.А.	Задачи диффузионного типа для расширяющихся и сжимающихся областей	Приводит к необходимости решения бесконечной системы обыкновенных линейных дифференциальных уравнений второго порядка
Сведение задачи к решению интегро-дифференциаль- ных уравнений	Ишлинский А.Ю., Савин Г.Н., Горошко О.А., Горбань В.А.	Волновое уравнение	Позволяет получить достаточно простое решение только для волн, два-три раза провазимодействовавших с границами.
Остановка границ введением новых переменных.	Весницкий А.И., Потапов А.И., Григорян Г.А.	Волновое уравнение	Применяется для граничных условий первого рода.
Задачи граничного управления	Ильин В. А., Моисеев Е. И. , Андреев А.А., Лексина С.В. , Козлова Е.А.	Уравнения гиперболического типа	Рассматривается класс краевых задач в системах постоянной длины.

Приближенные методы

Асимптотические методы	Боголюбов Н.Н., Митропольский Ю.А., Крылов В.И., Савин Г.Н., Горошко О.А., Лежнева А.А., Столяр А.М.	Волновое уравнение, уравнение изгибных колебаний	Применимы в случае медленного движения границ по сравнению со скоростью распространения колебаний.
Метод Канторовича в совокупности с методом Галеркина	Лежнева А.А., Анисимов В.Н.	Волновое уравнение, уравнение изгибных колебаний	Применяется в случае однородных граничных условий.

Получена нелинейная математическая модель для моделирования и анализа продольно–поперечных колебаний одномерных объектов с движущимися границами, учитывающая: геометрическую нелинейность, изгибную жесткость, жесткость подложки, взаимодействие продольных и поперечных колебаний, вязкоупругость, сопротивление среды, взаимодействие между частями объекта слева и справа от движущейся границы.

Постановка задачи о продольно–поперечных колебаниях объектов с движущимися границами

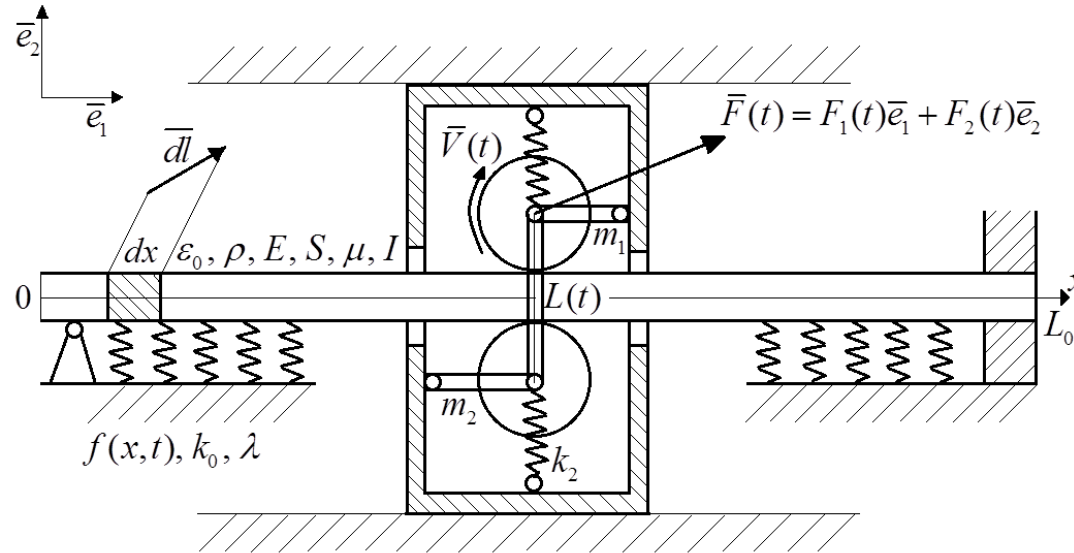


Рис.1. Обобщенная схема объекта

Обозначения:

- I - осевой момент инерции поперечного сечения; E - модуль упругости материала;
- μ - параметр, характеризующий вязкоупругость на основе структурной модели Фойгта;
- ϵ_0 - начальная продольная деформация, создающая натяжение $T = ES\epsilon_0$; $\bar{F}(t)$ - внешняя нагрузка;
- $L(t)$ - длина недеформированного в продольном направлении объекта слева от движущейся границы;
- k_0 - жесткость подложки; $V(t)$ - окружная линейная скорость роликов; k_2 - жесткость системы роликов;
- λ - коэффициент, характеризующий действие сил сопротивления внешней среды;
- L_0 - общая длина объекта; ρ - объемная плотность массы;
- S - площадь поперечного сечения; $f(x,t)$ - распределенная нагрузка.

Нелинейная постановка задачи о продольно–поперечных колебаниях объектов с движущимися границами

Система дифференциальных уравнений:

$$\left\{ \begin{array}{l} \rho S u_{1,tt} - S \frac{\partial}{\partial x} \left(\left(E \left(\sqrt{u_{j,x} u_{j,x}} - 1 \right) + \mu \frac{u_{k,x} u_{k,xt}}{\sqrt{u_{j,x} u_{j,x}}} \right) \frac{u_{1,x}}{\sqrt{u_{j,x} u_{j,x}}} \right) = 0; \\ \rho S u_{2,tt} - S \frac{\partial}{\partial x} \left(\left(E \left(\sqrt{u_{j,x} u_{j,x}} - 1 \right) + \mu \frac{u_{k,x} u_{k,xt}}{\sqrt{u_{j,x} u_{j,x}}} \right) \frac{u_{2,x}}{\sqrt{u_{j,x} u_{j,x}}} \right) + \\ + I \left(E u_{2,xxxx} + \mu u_{2,xxxx} \right) + \lambda u_{2,t} + k_0 u_2 - f(x,t) = 0. \end{array} \right. \quad (1)$$

Начальные условия:

$$\begin{array}{l} u_1(x,0) = \varphi_1(x); \quad u_{1,t}(x,0) = \varphi_2(x); \\ u_2(x,0) = \varphi_3(x); \quad u_{2,t}(x,0) = \varphi_4(x). \end{array} \quad (2)$$

Граничные условия:

$$\begin{array}{l} u_1^*(0,t) = 0; \quad u_2(0,t) = 0; \quad u_{2,xx}(0,t) = 0; \\ u_1^*(L_0,t) = 0; \quad u_2(L_0,t) = 0; \quad u_{2,x}(L_0,t) = 0; \end{array} \quad (3)$$

Обозначено $u_1(x,t) = u_1^*(x,t) + x + \varepsilon_0 x$

Граничные условия (на движущейся границе):

$$\begin{aligned} m_1 \frac{d^2 u_1(L(t),t)}{dt^2} - \rho S \left(u_{1,t}(L(t)+0,t) - u_{1,t}(L(t)-0,t) \right) L'(t) + \left(ES \left(\sqrt{u_{j,x}(L(t)-0,t) u_{j,x}(L(t)-0,t)} - 1 \right) + \right. \\ \left. + \mu S \frac{u_{k,x}(L(t)-0,t) u_{k,xt}(L(t)-0,t)}{\sqrt{u_{j,x}(L(t)-0,t) u_{j,x}(L(t)-0,t)}} \right) \frac{u_{1,x}(L(t)-0,t)}{\sqrt{u_{j,x}(L(t)-0,t) u_{j,x}(L(t)-0,t)}} - \left(ES \left(\sqrt{u_{j,x}(L(t)+0,t) u_{j,x}(L(t)+0,t)} - 1 \right) + \right. \\ \left. + \mu S \frac{u_{k,x}(L(t)+0,t) u_{k,xt}(L(t)+0,t)}{\sqrt{u_{j,x}(L(t)+0,t) u_{j,x}(L(t)+0,t)}} \right) \frac{u_{1,x}(L(t)+0,t)}{\sqrt{u_{j,x}(L(t)+0,t) u_{j,x}(L(t)+0,t)}} - F_1(t) = 0; \end{aligned}$$

$$m_2 \frac{d^2 u_2(L(t),t)}{dt^2} + EI \left(u_{2,xxx}(L(t)+0,t) - u_{2,xxx}(L(t)-0,t) \right) + \mu I \left(u_{2,xxx}(L(t)+0,t) - u_{2,xxx}(L(t)-0,t) \right) + k_2 u_2(L(t),t) - F_2(t) = 0;$$

$$u_1(L(t)-0,t) = u_1(L(t)+0,t); \quad u_2(L(t)-0,t) = u_2(L(t)+0,t); \quad u_{2,x}(L(t)-0,t) = 0; \quad u_{2,x}(L(t)+0,t) = 0. \quad (4)$$

Линеаризация задачи о продольно–поперечных колебаниях объектов с движущимися границами

Задача для продольных колебаний

$$\rho u_{1,tt}^* - E u_{1,xx}^* - \mu u_{1,xt}^* = 0. \quad (5)$$

Граничные условия: $u_1^*(0, t) = 0; \quad u_1^*(L_0, t) = 0; \quad (6)$

$$m_1 \frac{d^2 u_1(L(t), t)}{dt^2} - S \rho (u_{1,t}^*(L(t) + 0, t) - u_{1,t}^*(L(t) - 0, t)) L'(t) -$$
$$- ES (u_{1,x}^*(L(t) + 0, t) - u_{1,x}^*(L(t) - 0, t)) - S \mu (u_{1,xt}^*(L(t) + 0, t) - u_{1,xt}^*(L(t) - 0, t)) - F_1(t) = 0;$$
$$u_1^*(L(t) + 0, t) = u_1^*(L(t) - 0, t). \quad (7)$$

Начальные условия: $u_1^*(x, 0) = \varphi_1^*(x); \quad u_{1,t}^*(x, 0) = \varphi_2^*(x). \quad (8)$

Задача для поперечных колебаний

$$\rho S u_{2,tt} - ES \varepsilon_0 u_{2,xx} + E I u_{2,xxxx} + \mu I u_{2,xxx} + \lambda u_{2,t} + k_0 u_2 - f(x, t) = 0. \quad (9)$$

Граничные условия $u_2(0, t) = 0; \quad u_{2,xx}(0, t) = 0; \quad u_2(L_0, t) = 0; \quad u_{2,x}(L_0, t) = 0; \quad (10)$

$$m_2 \frac{d^2 u_2(L(t), t)}{dt^2} + EI (u_{2,xxx}(L(t) + 0, t) - u_{2,xxx}(L(t) - 0, t)) +$$
$$+ \mu I (u_{2,xxx}(L(t) + 0, t) - u_{2,xxx}(L(t) - 0, t)) + k_2 u_2(L(t), t) - F_2(t) = 0;$$
$$u_2(L(t) + 0, t) = u_2(L(t) - 0, t); \quad u_{2,x}(L(t) + 0, t) = 0; \quad u_{2,x}(L(t) - 0, t) = 0. \quad (11)$$

Начальные условия: $u_2(x, 0) = \varphi_3(x); \quad u_{2,t}(x, 0) = \varphi_4(x). \quad (12)$

Приближенный аналитический метод Канторовича-Галеркина

Задача 1

$$U_{\tau\tau}(\xi, \tau) + L[U(\xi, \tau)] + \varepsilon_0 L_1[U(\xi, \tau)] = \varphi(\xi, \tau) \quad (13)$$

Граничные условия

$$Y_{ji}[U(\ell_j(\varepsilon\tau), \tau)] + \varepsilon_{ji} Z_{ji}[U(\ell_j(\varepsilon\tau), \tau)] = F_{ji}(\tau); \quad i = \overline{1, m}; \quad j = \overline{1, 2} \quad (14)$$

Решение

$$U(\xi, \tau) = \sum_{n=1}^{\infty} \mu_n(\tau) X_n(\xi, \varepsilon\tau) \quad (15)$$

$$\mu_n(\tau) = A_{0n}(\varepsilon\tau) y_n(\tau),$$

$$y_n''(\tau) + \omega_n^2(\varepsilon\tau) y_n(\tau) = M_n(\varepsilon\tau) \cos W_n(\tau) \quad (16)$$

$$y_{1n}(\tau) = a_n(\varepsilon\tau) \cos w_n(\tau); \quad y_{2n}(\tau) = a_n(\varepsilon\tau) \sin w_n(\tau) \quad (17)$$

Выражение для амплитуды колебаний при $F_{ji}(\tau) = B_{ji} \cos W_{ji}(\tau)$:

$$A_n^2(\tau) = \frac{1}{4} A_{0n}^2(\varepsilon\tau) a_n^2(\varepsilon\tau) \left\{ \left[\int_0^\tau F_n(\varepsilon\zeta) \cos \Phi_{n_1}(\zeta) d\zeta \right]^2 + \left[\int_0^\tau F_n(\varepsilon\zeta) \sin \Phi_{n_1}(\zeta) d\zeta \right]^2 \right\}, \quad (18)$$

$$F_n(\varepsilon\zeta) = \frac{M_n(\varepsilon\zeta)}{a_n(\varepsilon\zeta) w_n'(\zeta)}; \quad \Phi_{n_1}(\zeta) = w_n(\zeta) - W_n(\zeta); \quad w_n(\tau) = \int_0^\tau \omega_n(\varepsilon\tau) d\tau; \quad a_n(\varepsilon\tau) = \frac{1}{\sqrt{\omega_n(\varepsilon\tau)}}.$$

Исследование погрешности вычислений

ОЦЕНКА ПОГРЕШНОСТИ МЕТОДА КАНТОРОВИЧА-ГАЛЕРКИНА на примере тестовой задачи

$$\begin{aligned}U_{\tau\tau}(\xi, \tau) - U_{\xi\xi}(\xi, \tau) &= 0; \\ U(0, \tau) &= 0; \quad U(1 + \varepsilon\tau, \tau) = B \cos W(\tau).\end{aligned}\tag{35}$$

Резонансные частоты:

$$W_{\text{точн.}}(\tau) = \frac{2\pi n \ln(1 + \varepsilon\tau)}{\ln\left(\frac{1 + \varepsilon}{1 - \varepsilon}\right)}; \quad W_{\text{прибл.}}(\tau) = \frac{\pi n}{\varepsilon} \sqrt{1 - \varepsilon^2 \left(\frac{1}{3} + \frac{1}{2\pi^2 n^2}\right)} \ln(1 + \varepsilon\tau).\tag{36}$$

Оценка погрешности, %

$$\Delta = \left| \frac{W'_{\text{точн.}}(\tau) - W'_{\text{прибл.}}(\tau)}{W'_{\text{точн.}}(\tau)} \right| \cdot 100\%,\tag{37}$$

где $W'_{\text{точн.}}(\tau), W'_{\text{прибл.}}(\tau)$ – точная и приближенная мгновенные резонансные частоты.

Таблица 1. Оценка погрешности метода Канторовича–Галеркина (%) в зависимости от относительной скорости движения границ ε

ε	0,001	0,005	0,01	0,02	0,05	0,1	0,3	0,5
$\Delta, \%$	$3,33 \cdot 10^{-5}$	0,001	0,003	0,013	0,083	0,335	3,173	9,861

Установлено, что максимальная погрешность не превышает 5 % для величины $\varepsilon < 0,37$.

Аналитический метод замены переменных

Задача 2

$$U_{\tau\tau}(\xi, \tau) - U_{\xi\xi}(\xi, \tau) = 0 \quad (19)$$

Начальные условия

$$U(\xi, 0) = \Phi_0(\xi); U_{\tau}(\xi, 0) = \Phi_1(\xi) \quad (20)$$

Граничные условия

$$\begin{aligned} L_1[U(\ell_1(\tau), \tau)] &= F_1(\tau); \ell_1(0) = 0; \\ L_2[U(\ell_2(\tau), \tau)] &= F_2(\tau); \ell_2(0) = 1; \ell_2(\tau) > \ell_1(\tau) \end{aligned} \quad (21)$$

Начальные условия

$$\begin{cases} g(z) = \frac{1}{2}[\Phi_0(z) + \int_0^z \Phi_1(\zeta) d\zeta], & (0 \leq z \leq 1); \\ G(z) = \frac{1}{2}[\Phi_0(-z) + \int_0^z \Phi_1(-\zeta) d\zeta], & (-1 \leq z \leq 0) \end{cases} \quad (24)$$

Введем новые функции

$$g(z) = r(\varphi(z)); G(z) = R(\psi(z)), \quad (25)$$

$$\begin{cases} \varphi(\tau + \ell_1(\tau)) = \psi(\tau - \ell_1(\tau)); \\ \varphi(\tau + \ell_2(\tau)) = \psi(\tau - \ell_2(\tau)) + 1 \end{cases} \quad (26)$$

Решение

$$U(\xi, \tau) = g(\tau + \xi) + G(\tau - \xi) \quad (22)$$

Граничные условия

$$\begin{cases} L_{11}[g(\tau + \ell_1(\tau))] + L_{12}[G(\tau - \ell_1(\tau))] = F_1(\tau); \\ L_{21}[g(\tau + \ell_2(\tau))] + L_{22}[G(\tau - \ell_2(\tau))] = F_2(\tau) \end{cases} \quad (23)$$

Система уравнений

$$\begin{cases} L_{11}[r(z)] + L_{12}[R(z)] = \theta_1(z); \\ L_{21}[r(z)] + L_{22}[R(z-1)] = \theta_2(z), \end{cases} \quad (27)$$

Начальные условия

$$r(z) = \begin{cases} -R(z), & -1 \leq z \leq \varphi(0); \\ r(z), & \varphi(0) \leq z \leq 0. \end{cases} \quad (28)$$

Выражение для амплитуды колебаний при $\theta(z) = B \cos W(z)$:

$$A_n^2(\tau) = 4B^2 \left\{ \left[\int_0^{b(\tau)} \cos \Phi_{n1}(\zeta) d\zeta \right]^2 + \left[\int_0^{b(\tau)} \sin \Phi_{n1}(\zeta) d\zeta \right]^2 \right\}, \quad (29)$$

$$\Phi_{n1}(\zeta) = 2\pi n\zeta - W(\zeta); b(\tau) = \psi(\tau - \xi_0(\tau)).$$

Преимущества методов

Метод Канторовича-Галеркина позволяет получать решения дифференциальных уравнений в частных производных до второго порядка включительно по временной переменной и до четвертого порядка включительно по пространственной переменной, а также учитывать:

- вязкоупругие свойства колеблющегося объекта;
- действие сил сопротивления среды;
- изгибную жесткость;
- жесткость подложки;
- широкий класс граничных условий.

Погрешность при $\varepsilon < 0,37$ ($\varepsilon = v/a$) составляет не более 5%.

Метод замены переменных в системе функционально-разностных уравнений позволяет:

- получить точное решение волнового уравнения с более широким классом условий на подвижных границах (отличным от граничных условий первого рода):

$$U(\ell_1(\tau), \tau) = F_1(\tau), U(\ell_2(\tau), \tau) = F_2(\tau); \quad U_\xi(\ell_1(\tau), \tau) = F_1(\tau), U_\xi(\ell_2(\tau), \tau) = F_2(\tau);$$

$$U_\tau(\ell_1(\tau), \tau) = F_1(\tau), U_\xi(\ell_2(\tau), \tau) = F_2(\tau); \quad U_\tau(\ell_1(\tau), \tau) = F_1(\tau), U_\tau(\ell_2(\tau), \tau) = F_2(\tau);$$

$$U(\ell_1(\tau), \tau) = F_1(\tau), U_\xi(\ell_2(\tau), \tau) = F_2(\tau); \quad U(\ell_1(\tau), \tau) = F_1(\tau), U_\tau(\ell_2(\tau), \tau) = F_2(\tau).$$

- получить решение при произвольных начальных условиях, заданных при $\tau = 0$, в то время, как в методе замены переменных в дифференциальном уравнении (Весницкий А.И.) начальные условия должны быть заданы на линии, определяемой уравнением $\varphi(\tau + \xi) + \psi(\tau - \xi) = 0$.

Методика анализа и численного исследования резонансных свойств

Выражение для амплитуды колебаний системы на n -ной динамической моде имеет вид:

$$A_n^2(\tau) = E_n^2(\tau) \left\{ \left[\int_0^\tau F_n(\zeta) \cos \Phi_n(\zeta) d\zeta \right]^2 + \left[\int_0^\tau F_n(\zeta) \sin \Phi_n(\zeta) d\zeta \right]^2 \right\}. \quad (32)$$

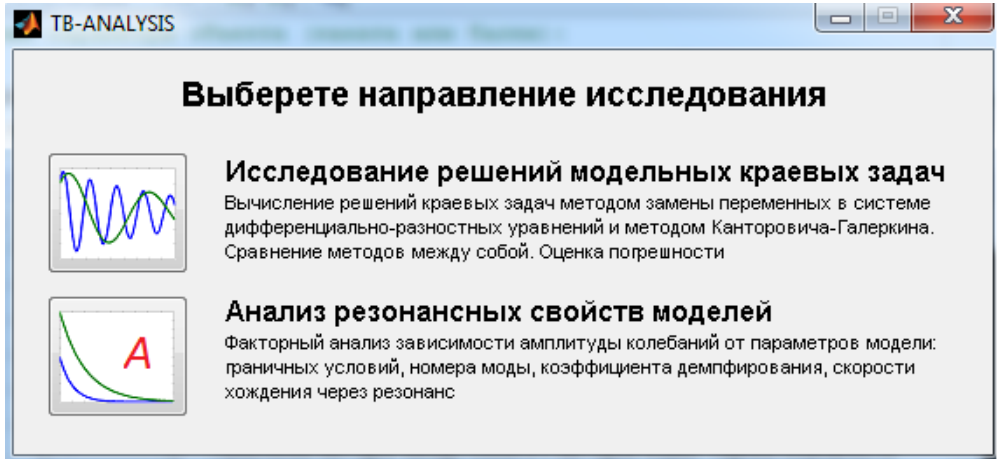
Явление установившегося резонанса будет наблюдаться, если скорость изменения функции $\Phi_n(\zeta)$ равна нулю, т.е. $\Phi_n(\zeta) = \gamma$, где γ – постоянная величина. В этом случае возрастание амплитуды описывается следующим выражением:

$$A_n(\tau) = E_n(\tau) \int_0^\tau F_n(\zeta) d\zeta. \quad (33)$$

Явление прохождения через резонанс наблюдается во временной области, содержащей точку τ_0 , где $\Phi_n'(\tau_0) = 0$. Если принять амплитуду в начале резонансной области (точка τ_1) равной амплитуде внешнего воздействия, то амплитуда в конце резонансной области (точка τ_2) определяется выражением:

$$A_n^2(\tau_1, \tau_2) = E_n^2(\tau_2) \left\{ \left[\int_{\tau_1}^{\tau_2} F_n(\zeta) \cos \Phi_n(\zeta) d\zeta \right]^2 + \left[\int_{\tau_1}^{\tau_2} F_n(\zeta) \sin \Phi_n(\zeta) d\zeta \right]^2 \right\}. \quad (34)$$

Автоматизированный комплекс «TB-ANALYSIS» в среде Matlab. Блок-схема и оконный интерфейс



ПОГРЕШНОСТЬ ВЫЧИСЛЕНИЙ КВАДРАТА АМПЛИТУДЫ

$$A_n^2(\tau_1, \tau_2) = E_n^2(\tau_2) \{I_1^2 + I_2^2\}, \quad (30)$$

где $I_1 = \int_0^{\tau_2} F_n(\varepsilon\zeta) \cos \Phi_n(\zeta) d\zeta$; $I_2 = \int_0^{\tau_2} F_n(\varepsilon\zeta) \sin \Phi_n(\zeta) d\zeta$.

Погрешность вычислений

$$R_A = 2E_n^2(\tau_2) R_{int} [R_{int} + I_1 + I_2], \quad (31)$$

где $R_{int} = \max \{R_{int}^1, R_{int}^2\}$ - максимальная погрешность

вычисления интегралов I_1, I_2

Примеры исследования резонансных свойств моделей с помощью программного комплекса

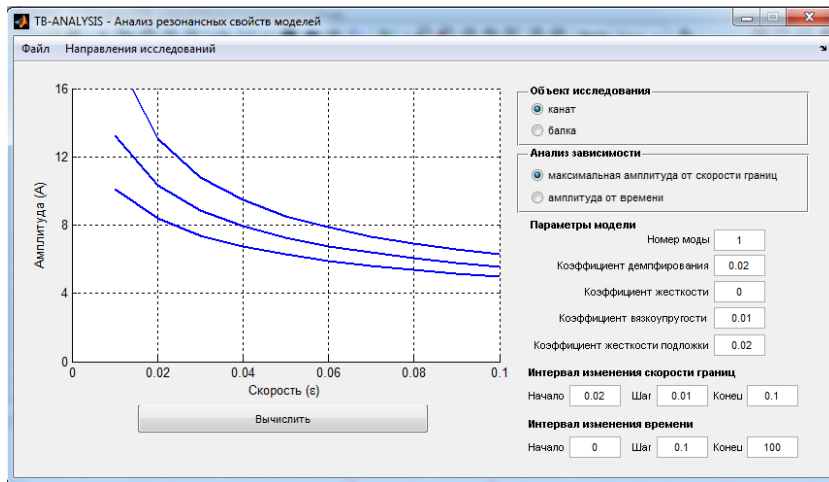


Рис.3. График зависимости максимальной амплитуды от скорости движения границ при различных значениях коэффициента демпфирования (сверху вниз: $\lambda = 0$; $\lambda = 0,01$; $\lambda = 0,02$)

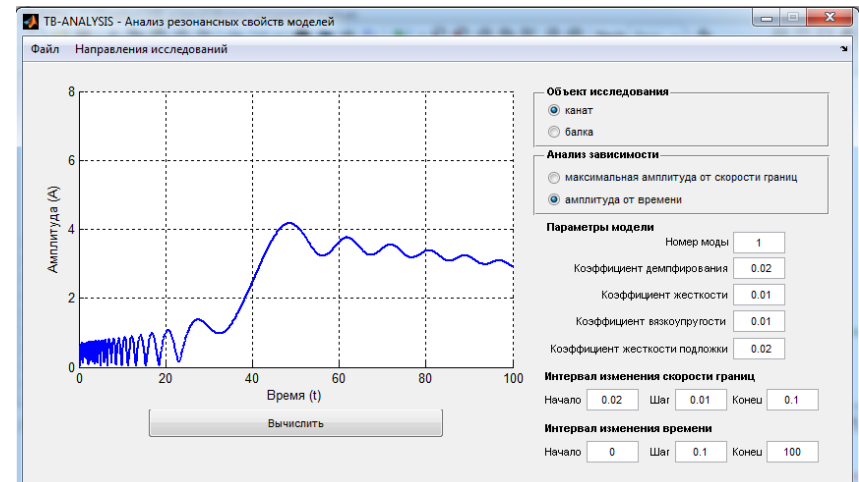


Рис.4. График зависимости амплитуды от времени при прохождении через резонанс

Модель продольных колебаний вязкоупругого каната переменной длины (решение приближенным аналитическим методом Канторовича-Галеркина)

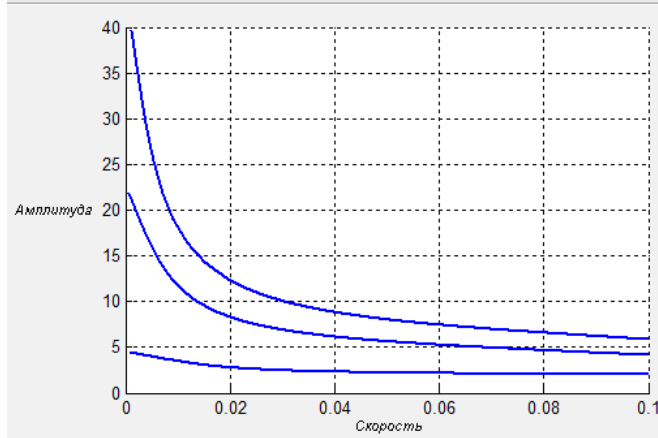


Рис.6. График амплитуды колебаний каната при различных значениях коэффициента вязкоупругости

Уравнение колебаний

$$U_{\tau\tau}(\xi, \tau) - U_{\xi\xi}(\xi, \tau) - \varepsilon_1 U_{\xi\xi\tau}(\xi, \tau) = 0; \quad (43)$$

Граничные условия:

$$U(0, \tau) = 0;$$

$$U(l(\varepsilon_0\tau), \tau) - \varepsilon_0 \int_{\gamma_0}^{\tau} U_{\xi}(l(\varepsilon_0\xi), \xi) l'(\varepsilon_0\xi) d\xi = F(\tau), \quad (44)$$

где $\varepsilon_1 = \mu\omega_0$, μ – параметр, характериз. вязкоупругость,

$l(\varepsilon_0\tau) = 1 + \varepsilon_0\tau$ – закон движения границы,

$F(\tau) = B \cos W(\tau)$ – внешнее возмущение.

Выражение для амплитуды колебаний при прохождении через резонанс ($W(\tau) = \tau$):

$$\frac{1}{B^2} A_n^2(\tau_1, \tau_2) = E_n^2(\tau_2) \left\{ \left[\int_{\tau_1}^{\tau_2} F_n(\zeta) \cos \Phi_n(\zeta) d\zeta \right]^2 + \left[\int_{\tau_1}^{\tau_2} F_n(\zeta) \sin \Phi_n(\zeta) d\zeta \right]^2 \right\}, \quad (45)$$

где $E_n^2(\tau) = \exp\left(-\varepsilon_1 \frac{\pi^2 n^2 \tau}{1 + \varepsilon_0 \tau}\right)$; $\Phi_n(\tau) = \frac{\pi n}{\varepsilon_0} \ln(1 + \varepsilon_0 \tau) - W(\tau)$; $F_n(\tau) = \frac{1}{1 + \varepsilon_0 \tau} \exp\left(\frac{\varepsilon_1}{2} \cdot \frac{\pi^2 n^2 \tau}{1 + \varepsilon_0 \tau}\right)$.

Точка резонансной области $\tau_0 = \frac{1}{\varepsilon_0} (\pi n - 1)$. (46)

Модель поперечных колебаний вязкоупругого каната переменной длины, лежащего на упругом основании, обладающего изгибной жесткостью, с учетом влияния сил сопротивления среды

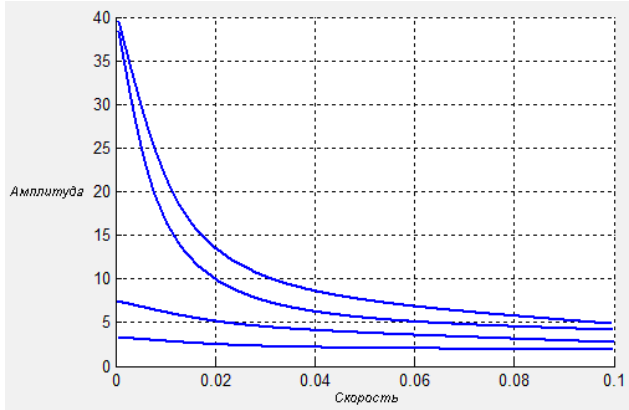


Рис.7. График амплитуды колебаний каната при различных значениях коэффициента демпфирования

Уравнение колебаний

$$V_{\tau\tau}(\xi, \tau) - V_{\xi\xi}(\xi, \tau) - \sigma^2 V(\xi, \tau) + (\beta^2 - \alpha\gamma^2) V_{\xi\xi\xi\xi}(\xi, \tau) + \gamma^2 V_{\xi\xi\xi\xi\tau}(\xi, \tau) = 0; \quad (47)$$

Граничные условия:

$$V(0, \tau) = 0; \quad V_{\xi\xi}(0, \tau) = 0; \quad V(l(\varepsilon\tau), \tau) = e^{\alpha\tau} \cos W(\tau); \quad V_{\xi}(l(\varepsilon\tau), \tau) = 0, \quad (48)$$

где $\beta^2 = \frac{EI}{\rho} \frac{\omega_0^2}{a^4}$; $\gamma^2 = \frac{\mu I}{\rho} \frac{\omega_0^3}{a^4}$; $a = \sqrt{E/\rho}$; $l(\varepsilon\tau) = 1 + \varepsilon\tau$; $\sigma^2 = \alpha^2 - \frac{k_0}{\rho\omega_0^2}$;

$\alpha = \lambda / (2\omega_0\rho)$, λ – коэффициент сопротивления среды;

μ – параметр, хар. вязкоупругость; k_0 – жесткость подложки.

Выражение для амплитуды колебаний при прохождении через резонанс ($W(\tau) = \tau$):

$$A_n^2(\tau_1, \tau_2) = E_n^2(\varepsilon\tau_2) \left\{ \left[\int_{\tau_1}^{\tau_2} F_n(\varepsilon\zeta) \cos \Phi_n(\zeta) d\zeta \right]^2 + \left[\int_{\tau_1}^{\tau_2} F_n(\varepsilon\zeta) \sin \Phi_n(\zeta) d\zeta \right]^2 \right\}, \quad (49)$$

где $E_n^2(\varepsilon\tau) = \frac{e^{-2\alpha\tau}}{4A_{1n}(\varepsilon\tau)\Omega_{0n}(\varepsilon\tau)}$; $\Phi_n(\zeta) = w_n(\zeta) - W_n(\zeta)$; $F_n(\varepsilon\zeta) = \omega_{0n}^2(\varepsilon\zeta) Q_{n_21}(\varepsilon\zeta) e^{\alpha\zeta} \sqrt{A_{1n}(\varepsilon\zeta) / \Omega_{0n}(\varepsilon\zeta)}$.

Точка резонансной области $\tau_0 = \frac{1}{\varepsilon} \left[\sqrt{\frac{2(\beta^2 - \alpha\gamma^2)}{-1 + \sqrt{1 + 4(\beta^2 - \alpha\gamma^2)(1 + \sigma^2)}}} \cdot \pi n - 1 \right]. \quad (50)$

Модель поперечных колебаний вязкоупругой балки переменной длины на упругом основании с учетом действия сил сопротивления среды

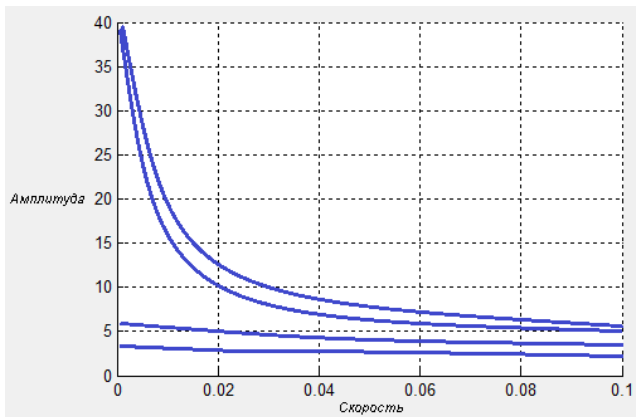


Рис.8. График амплитуды колебаний балки при различных значениях коэффициента жесткости подложки

Уравнение колебаний

$$(1 - \varepsilon_1 \alpha) V_{\xi\xi\xi\xi}(\xi, \tau) + \varepsilon_1 V_{\xi\xi\xi\xi\tau}(\xi, \tau) + V_{\tau\tau}(\xi, \tau) - \beta^2 V(\xi, \tau) = 0; \quad (51)$$

Граничные условия:

$$V(0, \tau) = 0; \quad V_\xi(0, \tau) = 0; \quad V(l(\varepsilon_0 \tau), \tau) = \cos W(\tau); \quad V_\xi(l(\varepsilon_0 \tau), \tau) = 0, \quad (52)$$

где $\varepsilon_1 = \frac{\mu}{E} \omega_0$; $\beta^2 = \alpha^2 - \frac{k_0}{\rho \omega_0^2}$; $l(\varepsilon_0 \tau) = 1 + \varepsilon_0 \tau$; $\varepsilon_0 = -\frac{v_0}{\sqrt{\gamma \omega_0}}$; $\gamma^2 = \frac{EI}{\rho}$;

$\alpha = \lambda / (2\omega_0 \rho)$, λ – коэффициент демпфирования;

μ – коэффициент вязкоупругости; k_0 – жесткость подложки.

Выражение для амплитуды колебаний при прохождении через резонанс ($W(\tau) = \tau$):

$$A_n^2(\tau_1, \tau_2) = E_n^2(\tau_2) \left\{ \left[\int_{\tau_1}^{\tau_2} F_n(\varepsilon \zeta) \cos \Phi_n(\zeta) d\zeta \right]^2 + \left[\int_{\tau_1}^{\tau_2} F_n(\varepsilon \zeta) \sin \Phi_n(\zeta) d\zeta \right]^2 \right\}, \quad (53)$$

где $E_n^2(\tau) = \frac{2,59}{\Omega_{0n}(\varepsilon_0 \tau) l(\varepsilon_0 \tau)} \exp\left(\frac{\varepsilon_1 k_n^4}{3\varepsilon_0} \left(\frac{1}{(1 + \varepsilon_0 \tau)^3} - 1\right) - 2\alpha\tau\right)$; $F_n(\tau) = \frac{2k_n^3}{\sqrt{\Omega_{0n}(\varepsilon_0 \tau) l^7(\varepsilon_0 \tau)}} \exp\left(\frac{\varepsilon_1 k_n^4}{6\varepsilon_0} \left(1 - \frac{1}{(1 + \varepsilon_0 \tau)^3}\right) + \alpha\tau\right)$.

Точка резонансной области $\tau_0 = \frac{1}{\varepsilon} \left(k_n^4 \sqrt{\frac{1 - \varepsilon_1 \alpha}{1 + \beta^2}} - 1 \right)$. (54)

Заключение

1. Разработаны новые математические модели для анализа продольно-поперечных колебаний одномерных объектов с движущимися границами, учитывающие геометрическую нелинейность, изгибную жесткость, взаимодействие продольных и поперечных колебаний, вязкоупругость, сопротивление среды, взаимодействие между частями объекта слева и справа от движущейся границы, в частных случаях малых колебаний совпадающие с классическими линейными моделями.
2. Для моделирования колебаний систем с подвижными границами разработан и реализован аналитический метод решения волнового уравнения, позволяющий получить решение с более широким спектром условий на подвижных границах, в отличие от известных задач аналогичного типа с граничными условиями первого рода; построен ряд решений для типовых механических объектов, позволяющих выполнить анализ их резонансных свойств.
3. Выполнено обобщение приближенного аналитического метода Канторовича - Галёркина на более широкий класс задач с условиями на движущихся границах, позволяющего учитывать действие на механическую систему сил сопротивления среды, изгибную жесткость и жесткость подложки, вязкоупругие свойства колеблющегося объекта и слабые возмущения на границах.
4. Исследована погрешность приближенного метода Канторовича – Галёркина применительно к оценке величины вызывающего резонанс внешнего возмущения, полученной для динамических мод различного порядка в зависимости от относительной скорости движения границ (отношение скорости границы к скорости распространения колебаний) и установлено, что максимальная погрешность не превышает 5% при относительной скорости движения границ не более 0,37.
5. Разработана методика моделирования и численного исследования резонансных эффектов для объектов с движущимися границами, позволяющая учитывать возможность возникновения явления установившегося резонанса и явления прохождения через резонанс; выполнен анализ зависимости амплитуды динамических мод разного порядка и границ резонансной области от относительной скорости границ с оценкой погрешности этих параметров.
6. В среде Matlab разработан программный комплекс «TB-ANALYSIS», предназначенный для решения некоторого класса краевых задач с движущимися границами, математического моделирования и изучения резонансных свойств объектов, состояние которых описывается этими постановками задач. С помощью программного комплекса проведено численное исследование колебаний и резонансных характеристик объектов с подвижными границами, встречающихся в прикладных задачах (продольные колебания вязкоупругого каната; поперечные колебания вязкоупругого каната, лежащего на упругом основании и обладающего изгибной жесткостью, с учетом действия сил сопротивления среды; поперечные колебания вязкоупругой балки на упругом основании с учетом действия сил сопротивления среды). Проведено тестирование программного комплекса, показавшее его эффективность при выполнении указанных задач.

Перечень основных публикаций

в изданиях WoS, Scopus, ВАР

1. Литвинов В.Л., Анисимов В.Н. Исследование резонансных свойств механических объектов с движущимися границами при помощи метода Канторовича-Галеркина // Вестн. Сам. гос. техн. ун-та. Сер. Физ. – мат. науки. 2009. №1 (18). С. 149-158.
2. Литвинов В.Л., Анисимов В.Н. Анализ влияния движения границ при исследовании резонансных свойств систем с демпфированием // Вестн. Сам. гос. техн. ун-та. Сер. Физ. – мат. науки. 2009. №2 (19). С. 147-152.
3. Анисимов В.Н., Литвинов В.Л., Лукьянов А.Е. Обоснование граничных условий при взаимодействии струны, обладающей изгибной жесткостью, с роликовой опорой // Вестн. Сам. гос. техн. ун-та. Сер. Физ. – мат. науки. 2010. №5 (21). С. 280-284.
4. Анисимов В.Н., Литвинов В.Л., Корпен И.В. Об одном методе получения точного решения волнового уравнения, описывающего колебания механических систем с движущимися границами // Вестн. Сам. гос. техн. ун-та. Сер. Физ. – мат. науки. 2012. №3 (28). С. 145-151.
5. Анисимов В.Н., Литвинов В.Л., Корпен И.В. Постановка задачи о колебаниях балки с движущейся подпружиненной опорой // Вестн. Сам. гос. техн. ун-та. Сер. Техн. науки. 2013. №1(37). С. 93-98.
6. Литвинов В.Л. Решение краевых задач с движущимися границами при помощи метода замены переменных в функциональном уравнении // Журнал Средневолжского математического общества. Т. 15, № 3. 2013.
7. Литвинов В.Л. Исследование свободных колебаний механических объектов с движущимися границами при помощи асимптотического метода // Журнал Средневолжского математического общества. Т. 16, № 1. 2014.
8. Литвинов В.Л., Анисимов В.Н. Математические модели нелинейных продольно–поперечных колебаний объектов с движущимися границами [Текст]/ В.Н. Анисимов, В.Л. Литвинов // Вестник Самарского государственного технического университета. Серия «Физико–математические науки». № 2 (19) – 2015. – С. 382–397.
9. Литвинов В.Л., Анисимов В.Н. Вычисление собственных частот каната, движущегося в продольном направлении // Журнал Средневолжского математического общества. Т. 19, № 1. 2017.– С. 130–139.
10. Литвинов В.Л., Анисимов В.Н. Поперечные колебания каната, движущегося в продольном направлении // Известия Самарского научного центра Российской академии наук. 2017. Т. 19. № 4.
11. Литвинов В.Л., Анисимов В.Н. Применение метода Канторовича-Галеркина для решения краевых задач с условиями на движущихся границах // Известия Российской академии наук. Механика твердого тела. Т.2, 2018. – С. 70–77.
12. Литвинов В.Л., Анисимов В.Н. Вычисление собственных частот поперечных колебаний кабеля на участке наложения на него изоляции// Журнал Средне-Волжского математического общества. Т. 21, №1. 2019. С– 70–77.
13. Литвинов В.Л., Анисимов В.Н. Об одном методе замены переменных для волнового уравнения, описывающего колебания систем с движущимися границами // Журнал Средне-Волжского математического общества. Т. 26, №2. 2020.
14. V. Litvinov. Solution of model boundary value problems on oscillations of mechanical systems with moving boundaries by the Duhamel method, Journal of Physics: Conference Series, 2019, № 1392 (2019) 012015, p.2–8
15. Litvinov V.L., Tarakanov A.V. Investigations of oscillations rope of capacity plants/ Proceedings of the 6th International Conference on Industrial Engineering (ICIE 2020): Volume I (Lecture Notes in Mechanical Engineering)
16. В. Л. Литвинов. Решение краевых задач с движущимися границами при помощи приближенного метода построения решений интегро–дифференциальных уравнений // Труды Института математики и механики УрО РАН», Т.27, №2. 2020.

монографии

1. Анисимов В.Н., Литвинов В.Л. Резонансные свойства механических объектов с движущимися границами: монография. – Самара: Самар. гос. техн. ун-т, 2009. – 131 с.: ил.
2. Литвинов В.Л., Анисимов В.Н. Математическое моделирование и исследование колебаний одномерных механических систем с движущимися границами: монография - Самара: Самар. гос. техн. ун-т, 2017. - 149 с.
3. Литвинов В.Л., Анисимов В.Н. Математическое моделирование и исследование резонансных свойств механических объектов с изменяющейся границей - Самара: Самар. гос. техн. ун-т, 2020. - 100 с.

свидетельства о регистрации электронного ресурса

1. Литвинов В.Л., Яшагин Н.С., Анисимов В.Н. Свидетельство о регистрации электронного ресурса «Автоматизированный исследовательский комплекс «ТВ-ANALYSIS» в ОФЭРНИО № 19517 от 26.09.2013 г. и ФГАНУ ЦИТиС № 130912114653 от 30.09.2013 г.

Решение краевых задач с движущимися границами при помощи метода Канторовича-Галеркина

В работах А.А. Лежневой для решения задач о колебаниях систем с движущимися границами предлагается использовать метод Канторовича в совокупности с методом Галеркина.

Такой подход очень удобен, так как начальная задача сводится к решению обыкновенного дифференциального уравнения.

Этот метод А.А. Лежнева применяет для получения решений волнового уравнения и уравнения изгибных колебаний балки при несложных однородных граничных условиях, заданных на одной движущейся и одной неподвижной границах. В данном разделе метод Канторовича-Галеркина распространен на более широкий класс задач, которые в случае неподвижных границ могут быть решены методом разделения переменных. В общем виде произведено упрощение получаемого здесь обыкновенного дифференциального уравнения. Выполнена оценка точности метода в зависимости от скорости движения границ.

Впервые получено достаточно простое выражение для амплитуды колебаний, соответствующих n -ной динамической моде, что позволяет проанализировать резонансные свойства решений. Заметим, что в отличие от работ А.А. Лежневой, особое внимание здесь уделено рассмотрению наиболее распространенного на практике случая, когда внешние возмущения действуют на границах.

Пусть требуется получить решение уравнения

$$U_{\tau\tau}(\xi, \tau) + L[U(\xi, \tau)] = \varphi(\xi, \tau) \quad (2.71)$$

при граничных условиях

$$\begin{aligned} Y_{ji} \left[U(\ell_j(\varepsilon\tau), \tau) \right] &= F_{ji}(\tau); \\ i = \overline{1, m}; \quad j &= \overline{1, 2}, \end{aligned} \quad (2.72)$$

где L – линейный однородный дифференциальный оператор по ξ порядка $2m$;

Y_{ji} – линейные однородные дифференциальные операторы по ξ ;

$\varphi(\xi, \tau); F_{ji}(\tau)$ – заданные функции;

ε – малый параметр (обычно величина ε соизмерима с V/a , V – скорость границы, a – скорость распространения колебаний).

Запись законов движения границ в виде $\ell_j(\varepsilon\tau)$ соответствует режиму медленного движения.

В случае неподвижности границ ($\ell_j(\varepsilon\tau) = const$) задача (2.71), (2.72) может быть решена методом разделения переменных.

Метод Канторовича-Галеркина позволяет учесть и начальные условия. Однако они не влияют на резонансные свойства линейных систем, поэтому в задаче (2.71), (2.72) начальные условия опущены.

Для того чтобы избавиться от неоднородностей в граничных условиях, вводится новая функция

$$U(\xi, \tau) = V(\xi, \tau) + H(\xi, \tau), \quad (2.73)$$

где

$$H(\xi, \tau) = \sum_{k=1}^2 \sum_{r=1}^m D_{kr}(\xi, \varepsilon\tau) F_{kr}(\tau),$$

а функция $D_{kr}(\xi, \varepsilon\tau)$ удовлетворяют уравнению

$$L[D_{kr}(\xi, \varepsilon\tau)] = 0 \quad (2.74)$$

и условиям

$$Y_{ji}[D_{kr}(\ell_j(\varepsilon\tau), \tau)] = \begin{cases} 1, & k = j \wedge r = i; \\ 0, & k \neq j \vee r \neq i. \end{cases} \quad (2.75)$$

Решение задачи (2.74), (2.75) затруднений, как правило, не вызывает, и поэтому здесь оно подробно не рассматривается.

Функция $V(\xi, \tau)$ находится как решение следующей задачи:

$$V_{\tau\tau}(\xi, \tau) + L[V(\xi, \tau)] = \varphi(\xi, \tau) - H_{\tau\tau}(\xi, \tau); \quad (2.76)$$

$$Y_{ji}[V(\ell_j(\varepsilon\tau), \tau)] = 0. \quad (2.77)$$

Для решения задачи используем метод Канторовича в совокупности с методом Галеркина:

$$V(\xi, \tau) = \sum_{n=1}^{\infty} f_n(\tau) X_n(\xi, \varepsilon \tau), \quad (2.78)$$

где $X_n(\xi, \varepsilon \tau)$ – собственные функции следующей краевой задачи:

$$L[X_n(\xi, \varepsilon \tau)] = \omega_{0n}^2(\varepsilon \tau) X_n(\xi, \varepsilon \tau); \quad (2.79)$$

$$Y_{ji}[X_n(\ell_j(\varepsilon \tau), \varepsilon \tau)] = 0. \quad (2.80)$$

Здесь $\omega_{0n}(\varepsilon \tau)$ – собственные частоты задачи, а $\varepsilon \tau$ рассматривается как параметр.

Такой выбор координатных функций X_n обуславливает тот факт, что решение (2.78) является точным в случае, если границы неподвижны. При увеличении скорости движения границ точность метода уменьшается.

Заметим, что функции $X_n(\xi, \varepsilon \tau)$ удовлетворяют граничным условиям (2.77) и играют в данном случае роль динамических мод.

Функции $f_n(\tau)$ обычно находятся из того условия, чтобы частичная сумма ряда (2.78) как можно лучше удовлетворяла уравнению (2.76). Поскольку в данной работе основное внимание сосредоточено на изучении резонансных свойств колебаний, соответствующих отдельным динамическим модам, то $f_n(\tau)$ здесь целесообразнее определять из того условия, чтобы каждый член ряда (2.78) как можно лучше удовлетворял уравнению (2.76). Применим для этого метод Галеркина. Функции $f_n(\tau)$ будем определять из следующего уравнения:

$$\int_{\ell_1(\varepsilon\tau)}^{\ell_2(\varepsilon\tau)} \{ [X_n(\xi, \varepsilon\tau)f_n(\tau)]_{\tau\tau} + L[X_n(\xi, \varepsilon\tau)f_n(\tau)] - \varphi(\xi, \tau) + H_{\tau\tau}(\xi, \tau) \} X_n(\xi, \varepsilon\tau) g(\xi) d\xi = 0, \quad (2.81)$$

где $g(\xi)$ – весовая функция.

Заметим, что функции $X_n(\xi, \varepsilon\tau)$ ортогональны на интервале $[\ell_1(\varepsilon\tau), \ell_2(\varepsilon\tau)]$ с весом $g(\xi)$.

Поскольку оператор L является оператором по ξ , а $X_n(\xi, \varepsilon\tau)$ – собственные функции задачи (2.79), (2.80), то

$$L[X_n(\xi, \varepsilon\tau)f_n(\tau)] = f_n(\tau)\omega_{0n}^2(\varepsilon\tau)X_n(\xi, \varepsilon\tau), \quad (2.82)$$

где $\omega_{0n}(\varepsilon\tau)$ – собственные частоты задачи (2.79), (2.80).

Для того чтобы избавиться в уравнении (2.81) от второй производной функции F_{ji} , сделаем замену:

$$f_n(\tau) = \mu_n(\tau) + \sum_{k=1}^2 \sum_{r=1}^m Q_{n_{kr}}(\varepsilon\tau) F_{kr}(\tau), \quad (2.83)$$

где

$$Q_{n_{kr}}(\varepsilon\tau) = - \frac{\int_{\ell_1(\varepsilon\tau)}^{\ell_2(\varepsilon\tau)} D_{kr}(\xi, \varepsilon\tau) X_n(\xi, \varepsilon\tau) g(\xi) d\xi}{\int_{\ell_1(\varepsilon\tau)}^{\ell_2(\varepsilon\tau)} X_n^2(\xi, \varepsilon\tau) g(\xi) d\xi}. \quad (2.84)$$

С учетом (2.82), (2.83) уравнение (2.81) примет вид

$$A_{1n}(\varepsilon\tau) \mu_n''(\tau) + 2\varepsilon A_{2n}(\varepsilon\tau) \mu_n'(\tau) + \varepsilon^2 A_{4n}(\varepsilon\tau) \mu_n(\tau) + A_{1n}(\varepsilon\tau) \omega_{0n}^2(\varepsilon\tau) \mu_n(\tau) = \theta_n(\tau), \quad (2.85)$$

где

$$\begin{aligned} \theta_n(\tau) = & E_n(\tau) - 2\varepsilon \sum_{k=1}^2 \sum_{r=1}^m B_{n_{kr}}(\varepsilon\tau) F_{kr}'(\tau) - \varepsilon^2 \sum_{k=1}^2 \sum_{r=1}^m C_{n_{kr}}(\varepsilon\tau) F_{kr}(\varepsilon\tau) - \\ & - \omega_{0n}^2(\varepsilon\tau) A_{1n}(\varepsilon\tau) \sum_{k=1}^2 \sum_{r=1}^m Q_{n_{kr}}(\varepsilon\tau) F_{kr}(\varepsilon\tau). \end{aligned} \quad (2.86)$$

Здесь и далее используются следующие обозначения:

$$A_{1n}(\varepsilon\tau) = \int_{\ell_1(\varepsilon\tau)}^{\ell_2(\varepsilon\tau)} X_n^2(\xi, \varepsilon\tau) g(\xi) d\xi; \quad (2.87)$$

$$\varepsilon A_{2n}(\varepsilon\tau) = \int_{\ell_1(\varepsilon\tau)}^{\ell_2(\varepsilon\tau)} X_{n_\tau}(\xi, \varepsilon\tau) X_n(\xi, \varepsilon\tau) g(\xi) d\xi; \quad (2.88)$$

$$\varepsilon^2 A_{3n}(\varepsilon\tau) = \int_{\ell_1(\varepsilon\tau)}^{\ell_2(\varepsilon\tau)} X_{n_\tau}^2(\xi, \varepsilon\tau) g(\xi) d\xi; \quad (2.89)$$

$$\varepsilon^2 A_{4n}(\varepsilon\tau) = \int_{\ell_1(\varepsilon\tau)}^{\ell_2(\varepsilon\tau)} X_{n_{\tau\tau}}(\xi, \varepsilon\tau) X_n(\xi, \varepsilon\tau) g(\xi) d\xi;$$

$$\varepsilon B_{n_\tau}(\varepsilon\tau) = \int_{\ell_1(\varepsilon\tau)}^{\ell_2(\varepsilon\tau)} [Q_{n_\tau}(\varepsilon\tau) X_n(\xi, \varepsilon\tau) + D_{n_\tau}(\xi, \varepsilon\tau)]_\tau \cdot X_n(\xi, \varepsilon\tau) g(\xi) d\xi; \quad (2.90)$$

$$\varepsilon^2 C_{n_\tau}(\varepsilon\tau) = \int_{\ell_1(\varepsilon\tau)}^{\ell_2(\varepsilon\tau)} [Q_{n_\tau}(\varepsilon\tau) X_n(\xi, \varepsilon\tau) + D_{n_\tau}(\xi, \varepsilon\tau)]_{\tau\tau} \cdot X_n(\xi, \varepsilon\tau) g(\xi) d\xi;$$

$$E_n(\tau) = \int_{\ell_1(\varepsilon\tau)}^{\ell_2(\varepsilon\tau)} \varphi(\xi, \tau) X_n(\xi, \varepsilon\tau) g(\xi) d\xi.$$

С учетом равенств (2.78), (2.83) решение (2.73) примет вид

$$U(\xi, \tau) = \sum_{n=1}^{\infty} \mu_n(\tau) X_n(\xi, \varepsilon\tau) + \sum_{k=1}^2 \sum_{r=1}^m F_{kr}(\tau) [D_{kr}(\xi, \varepsilon\tau) + \sum_{n=1}^{\infty} Q_{nkr}(\varepsilon\tau) X_n(\xi, \varepsilon\tau)]. \quad (2.91)$$

Поскольку величины $Q_{nkr}(\varepsilon\tau)$, определяемые выражением (2.84), представляют собой коэффициенты ряда для функции $-D_{kr}(\xi, \varepsilon\tau)$, разложенной по системе ортогональных функций $X_n(\xi, \varepsilon\tau)$ на интервале $[\ell_1(\varepsilon\tau), \ell_2(\varepsilon\tau)]$, то выражение в квадратных скобках равенства (2.91) равно нулю во всех точках отрезка $[\ell_1(\varepsilon\tau), \ell_2(\varepsilon\tau)]$, кроме, может быть, крайних точек. Поэтому вместо (2.91) можно взять

$$U(\xi, \tau) = \sum_{n=1}^{\infty} \mu_n(\tau) X_n(\xi, \varepsilon\tau). \quad (2.92)$$

Данное решение показывает, что аналогично тому, как колебательные процессы для объектов с неподвижными границами выражаются суммой колебаний, соответствующих собственным функциям, в случае движения границ появляется суперпозиция колебаний, соответствующих динамическим модам $X_n(\xi, \varepsilon\tau)$.

Если ввести в уравнение (2.85) новую функцию

$$\mu_n(\tau) = A_{0n}(\varepsilon\tau)y_n(\tau), \quad (2.93)$$

где

$$A_{0n}(\varepsilon\tau) = \exp \left[- \int_0^\tau \frac{\varepsilon A_{2n}(\varepsilon\tau)}{A_{1n}(\varepsilon\tau)} d\tau \right], \quad (2.94)$$

то это уравнение можно преобразовать так, что оно не будет содержать члена с $y'(\tau)$:

$$y_n''(\tau) + \omega_n^2(\varepsilon\tau)y_n(\tau) = \theta_n(\tau) / [A_{0n}(\varepsilon\tau)A_{1n}(\varepsilon\tau)]. \quad (2.95)$$

Здесь

$$\begin{aligned} \omega_n^2(\varepsilon\tau) = & \omega_{0n}^2(\varepsilon\tau) + \frac{\varepsilon^2}{A_{1n}^2(\varepsilon\tau)} \{ A_{2n}^2(\varepsilon\tau) - A_{1n}(\varepsilon\tau)A_{3n}(\varepsilon\tau) + \\ & + A_{2n}(\varepsilon\tau)[X_n^2(\ell_2(\varepsilon\tau), \varepsilon\tau)g(\ell_2(\varepsilon\tau))\ell_2'(\varepsilon\tau) - \\ & - X_n^2(\ell_1(\varepsilon\tau), \varepsilon\tau)g(\ell_1(\varepsilon\tau))\ell_1'(\varepsilon\tau)] - \\ & - A_{1n}(\varepsilon\tau)[X_n(\ell_2(\varepsilon\tau), \varepsilon\tau)X_n(\ell_2(\varepsilon\tau), \varepsilon\tau)g(\ell_2(\varepsilon\tau))\ell_2'(\varepsilon\tau) - \\ & - X_n(\ell_1(\varepsilon\tau), \varepsilon\tau)X_n(\ell_1(\varepsilon\tau), \varepsilon\tau)g(\ell_1(\varepsilon\tau))\ell_1'(\varepsilon\tau)] \}. \end{aligned} \quad (2.96)$$

Пусть внешнее воздействие на систему носит гармонический характер, т.е.:

$$\varphi(\xi, \tau) = B_0(\xi) \cos W_0(\tau); \quad (2.97)$$

$$F_{ji}(\tau) = B_{ji} \cos W_{ji}(\tau); \quad j = \overline{1, 2}; \quad i = \overline{1, m}, \quad (2.98)$$

где B_{ji} – постоянные величины;

$W_0(\tau), W_{ji}(\tau)$ – монотонно возрастающие функции;

$B_0(\xi)$ – функция, характеризующая интенсивность распределенной нагрузки.

Заметим, что в связи с медленным движением границ при исследовании резонансных свойств функции W_0 и W_{ji} имеют вид

$$W_0(\tau) = \omega_0 \tau + \psi_0(\varepsilon \tau); \quad (2.99)$$

$$W_{ji}(\tau) = \omega_{ji} \tau + \psi_{ji}(\varepsilon \tau), \quad (2.100)$$

где ω_0 и ω_{ji} – постоянные величины, а $\psi_0(\varepsilon \tau)$ и $\psi_{ji}(\varepsilon \tau)$ – функции, характеризующие медленное изменение частот возмущающих воздействий.

С учетом равенств (2.97), (2.98) выражение (2.86) примет вид

$$\frac{\theta_n(\tau)}{A_{0n}(\varepsilon\tau)A_{1n}(\varepsilon\tau)} = M_{n0}(\varepsilon\tau) \cos W_0(\tau) + \sum_{j=1}^2 \sum_{i=1}^m M_{nji}(\varepsilon\tau) \cos \Omega_{nji}(\tau), \quad (2.101)$$

где

$$M_{n0}(\varepsilon\tau) = \int_{\ell_1(\varepsilon\tau)}^{\ell_2(\varepsilon\tau)} B_0(\xi) X_n(\xi, \varepsilon\tau) g(\xi) d\xi / [A_{0n}(\varepsilon\tau)A_{1n}(\varepsilon\tau)];$$

$$M_{nji}(\varepsilon\tau) = \frac{-B_{ji}}{A_{0n}(\varepsilon\tau)A_{1n}(\varepsilon\tau)} \times \sqrt{Z_{nji}^2(\varepsilon\tau) + 4\varepsilon^2 [W'_{ji}(\tau)B_{nji}(\varepsilon\tau)]^2}; \quad (2.102)$$

$$Z_{nji}(\varepsilon\tau) = \omega_{0n}^2(\varepsilon\tau)A_{1n}(\varepsilon\tau)Q_{nji}(\varepsilon\tau) + \varepsilon^2 C_{nji}(\varepsilon\tau);$$

$$\Omega_{nji}(\tau) = W_{ji}(\tau) + \arcsin \left[\frac{\varepsilon B_{nji}(\varepsilon\tau)W'_{ji}(\tau)}{\sqrt{Z_{nji}^2(\varepsilon\tau) + 4\varepsilon^2 [W'_{ji}(\tau)B_{nji}(\varepsilon\tau)]^2}} \right]. \quad (2.103)$$

Резонансные свойства системы определяются скоростями изменения функций $\Omega_{n0}, \Omega_{nji}$. Скорости же характеризуются производными, которые с учетом равенств (2.103), (2.99), (2.100) можно записать в следующем виде:

$$\Omega'_{nji}(\tau) = W'_{ji}(\tau) + O(\varepsilon^2) \dots \quad (2.104)$$

Таким образом, второй член в правой части формулы (2.103) влияет на резонансные свойства системы как величина порядка малости ε^2 . В дальнейшем под точностью порядка ε^2 будем понимать точность, имеющую место после пренебрежения членами с ε^2 и членами вида $\varepsilon F'_{ji}(\varepsilon\tau)$, которые, несмотря на малость порядка ε , на резонансные свойства влияют как члены порядка ε^2 (см. (2.86), (2.102), (2.103), (2.104)). Например, выражения (2.103), (2.102), (2.96) с точностью до величин порядка малости ε^2 будут иметь вид

$$M_{nji}(\varepsilon\tau) = \frac{-B_{ji}\omega_{0n}^2(\varepsilon\tau)Q_{nji}(\varepsilon\tau)}{A_{0n}(\varepsilon\tau)}; \quad (2.105)$$

$$\Omega_{nji}(\tau) = W_{nji}(\tau); \quad \omega_n^2(\varepsilon\tau) = \omega_{0n}^2(\varepsilon\tau). \quad (2.106)$$

Ограничимся рассмотрением случая, когда выражение (2.101) имеет вид

$$\theta_n(\tau) / [A_{0n}(\varepsilon\tau)A_{1n}(\varepsilon\tau)] = M_n(\varepsilon\tau) \cos W_n(\tau), \quad (2.107)$$

где $W_n(\tau)$ – монотонно возрастающая функция.

Равенство (2.101) можно заменить равенством (2.107) в следующих случаях:

1) все внешние возмущения $\varphi(\xi, \tau); F_{ji}(\tau)$ равны нулю? кроме какого-то одного;

2) производные функций $W_0(\tau), W_{ji}(\tau)$ равны между собой, т.е. сами функции отличаются на постоянную величину;

3) резонансные области нагрузок φ, F_{ji} не пересекаются, тогда при рассмотрении резонанса от одной нагрузки действием других можно пренебречь.

С учетом изложенного уравнение (2.95) примет вид

$$y_n''(\tau) + \omega_n^2(\varepsilon\tau)y_n(\tau) = M_n(\varepsilon\tau)\cos W_n(\tau). \quad (2.108)$$

Решение данного уравнения при начальных условиях $y(0) = 0; y'(0) = 0$ записывается следующим образом [48]:

$$y_n(\tau) = \int_0^\tau \gamma_n(\tau, \zeta) M_n(\varepsilon\zeta) \cos W_n(\zeta) d\zeta, \quad (2.109)$$

где

$$\gamma_n(\tau, \zeta) = \frac{-y_{1n}(\tau)y_{2n}(\zeta) - y_{1n}(\zeta)y_{2n}(\tau)}{y_{1n}(\zeta)y'_{2n}(\zeta) - y'_{1n}(\zeta)y_{2n}(\zeta)} \stackrel{!}{=} \quad (2.110)$$

а y_{1n}, y_{2n} – линейно независимые решения однородного уравнения, соответствующего (2.108), т.е.

$$y_n''(\tau) + \omega_n^2(\varepsilon\tau)y_n(\tau) = 0. \quad (2.111)$$

Заметим, что если $u_1(\tau)$ и $u_2(\tau)$ – линейно независимые решения уравнения (2.111), то из равенства

$$u_1(\tau) + iu_2(\tau) = a_n(\varepsilon\tau)e^{i\omega_n(\tau)},$$

где

$$a_n(\varepsilon\tau) = \sqrt{u_1^2(\tau) + u_2^2(\tau)}; \quad \omega_n(\tau) = \arg(u_1(\tau) + iu_2(\tau)),$$

нетрудно получить два линейно независимых решения в виде, более удобном для дальнейших исследований:

$$y_{1n}(\tau) = a_n(\varepsilon\tau)\sin w_n(\tau); \quad (2.112)$$

$$y_{2n}(\tau) = a_n(\varepsilon\tau)\cos w_n(\tau). \quad (2.113)$$

В большинстве случаев решения уравнения (2.111) сразу получаются в виде (2.112), (2.113), и указанные преобразования выполнять не нужно. Так, при использовании метода малого параметра с точностью до величин порядка ε^2 функции $a_n(\varepsilon\tau)$ и $w_n(\tau)$ определяются из следующей системы уравнений:

$$\begin{cases} \frac{dw_n(\tau)}{d\tau} = \omega_n(\varepsilon\tau); \\ \frac{da_n(\varepsilon\tau)}{d\tau} = -\frac{a_n(\varepsilon\tau)}{2\omega_n(\varepsilon\tau)} \cdot \frac{d\omega_n(\varepsilon\tau)}{d\tau}. \end{cases}$$

Решая систему с точностью до постоянной величины, получим:

$$w_n(\tau) = \int_0^{\tau} \omega_n(\varepsilon\tau) d\tau; \quad (2.114)$$

$$a_n(\varepsilon\tau) = \frac{1}{\sqrt{\omega_n(\varepsilon\tau)}}. \quad (2.115)$$

Так как $\omega_n(\varepsilon\tau)$ больше нуля, то из равенств (2.114), (2.115) следует, что $w_n(\tau)$ является монотонно возрастающей функцией. Подтвердилось также предположение о том, что $a_n(\varepsilon\tau)$ является функцией медленного времени ($\nu = \varepsilon\tau$). Заметим, что пренебрежение в выражении для $\omega_n^2(\varepsilon\tau)$ (см. (2.96)) членами порядка ε^2 приводит к погрешности в определении $w_n(\tau)$ и $a_n(\varepsilon\tau)$ также порядка ε^2 . Поэтому, когда ε мало, для $\omega_n^2(\varepsilon\tau)$ можно использовать формулу (2.106).

Возвращаясь к решению (2.109), (2.110), с учетом (2.112), (2.113) получим:

$$y_n(\tau) = a_n(\varepsilon\tau) \sin w_n(\tau) \int_0^{\tau} \frac{M_n(\varepsilon\zeta) \cos W_n(\zeta) \cos w_n(\zeta)}{a_n(\varepsilon\zeta) w_n'(\zeta)} d\zeta - \\ - a_n(\varepsilon\tau) \cos w_n(\tau) \int_0^{\tau} \frac{M_n(\varepsilon\zeta) \cos W_n(\zeta) \sin w_n(\zeta)}{a_n(\varepsilon\zeta) w_n'(\zeta)} d\zeta.$$

Разлагая произведение тригонометрических функций в сумму и учитывая замену (2.93), можно получить следующее выражение для полной амплитуды колебаний, соответствующих n -ной динамической моде:

$$A_n^2(\tau) = \frac{1}{4} A_{0n}^2(\varepsilon\tau) a_n^2(\varepsilon\tau) \left\{ \left[\int_0^{\varepsilon\tau} F_n(\varepsilon\zeta) \cos \Phi_{n1}(\zeta) d\zeta \right]^2 + \left[\int_0^{\varepsilon\tau} F_n(\varepsilon\zeta) \sin \Phi_{n1}(\zeta) d\zeta \right]^2 \right\} \quad (2.116)$$

$$F_n(\varepsilon\zeta) = \frac{M_n(\varepsilon\zeta)}{a_n(\varepsilon\zeta) w_n'(\zeta)};$$

$$\Phi_{n1}(\zeta) = w_n(\zeta) - W_n(\zeta);$$

$$\Phi_{n2}(\zeta) = w_n(\zeta) + W_n(\zeta). \quad (2.117)$$

Метод Канторовича-Галеркина может быть применён и в более сложных случаях. Этот метод позволяет учитывать действие на систему сил сопротивления, вязкоупругие свойства колеблющегося объекта, а также слабую нестационарность граничных условий.

$$U_{\tau\tau}(\xi, \tau) + L[U(\xi, \tau)] + \varepsilon_0 L_1[U(\xi, \tau)] = \varphi(\xi, \tau); \quad (2.134)$$

$$Y_{ji}[U(\ell_j(\varepsilon\tau), \tau)] + \varepsilon_{ji} Z_{ji}[U(\ell_j(\varepsilon\tau), \tau)] = F_{ji}(\tau); \quad (2.135)$$

$$i = \overline{1, m}; \quad j = \overline{1, 2};$$

$\varepsilon, \varepsilon_0, \varepsilon_{ji}$ – малые параметры; L_1 – линейный дифференциальный оператор (его порядок по τ равен единице, по ε не превышает $2m$); Z_{ji} – линейные операторы.

Операторы Z_{ji} – могут содержать члены следующего вида:

$$A(\varepsilon\tau) \frac{\partial^n U_\tau(\xi, \tau)}{\partial \xi^n} \Big|_{\xi=\ell_j(\varepsilon\tau)}; \quad \int B(\varepsilon\zeta) \frac{\partial^k U(\xi, \zeta)}{\partial \zeta^k} \Big|_{\xi=\ell_j(\varepsilon\zeta)} \cdot d\zeta$$

($n < 2m, k \leq 2$ – целые положительные числа; $A(\varepsilon\tau), B(\varepsilon\zeta)$ – заданные функции).

Спасибо за внимание!